



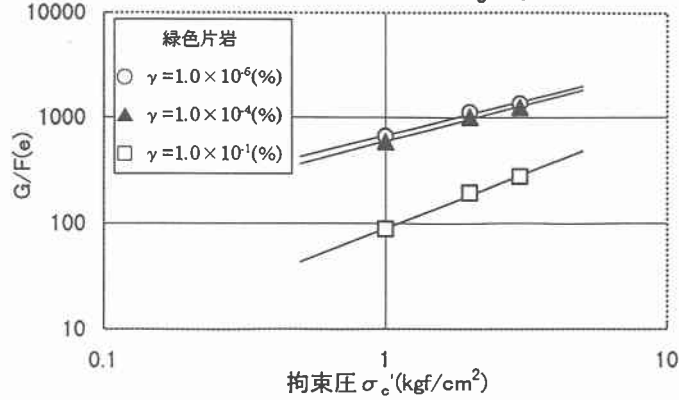
図-3 G/F(e)～拘束圧  $\sigma_c'$  の関係

図-4 G/G\_0～γの関係

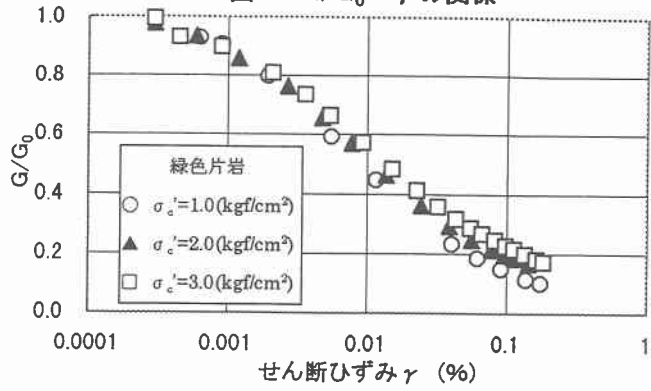


図-5 h～γの関係

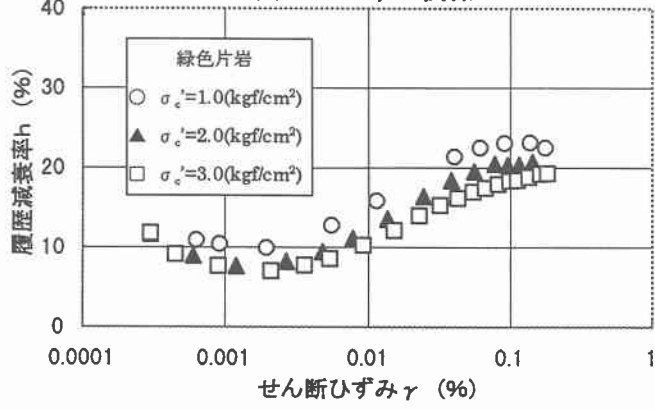


図-6 H-Dモデルとの比較(せん断剛性率G)

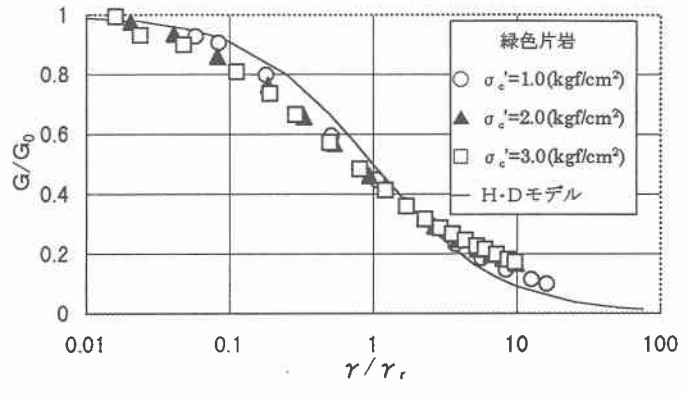


図-5 に硬岩の  $h$ ～ $\gamma$  の関係を示す。履歴減衰率  $h$  はせん断ひずみ  $\gamma$  の増加に伴い増加するが、その増加の割合はあまり大きくない。また、拘束圧  $\sigma_c'$  の増加に伴い低下する傾向があるが、せん断剛性率  $G$  と比較してその影響は小さい。

図-6 は、緑色片岩でのせん断剛性率  $G$  の試験値と、代表的な非線形モデルの 1 つである Hardin-Drnevich モデル(以下 H-D モデル)の理論値を示している。今回用いた試料はすべて、せん断剛性率  $G$  の低下が比較的小さいひずみから起こっており、粗粒材の一般的な傾向と思われる。また、ひずみが増加すると、徐々に試験値と H-D モデルの理論値に差が現れる。図-7 は、硬岩での履歴減衰率  $h$  の試験値と H-D モデルの理論値であるが、微小ひずみ域であまり一致していない。ベディングエラーの影響も考えられるが、粗粒材では、微小ひずみ域で砂質土と比べると大きい履歴減衰率が認められる。

#### 4. あとがき

今回は粗粒材の動的変形特性について、ひずみ依存性、拘束圧依存性、密度の影響などが確認できた。この他にも応力履歴や粒度分布、粒子形状など多くの検討の余地がある。また、室内試験だけでなく、現場での試験結果も考慮する必要がある。粗粒材の動的変形特性について一定の傾向を把握するには、更なる試験データの集積が望まれる。

#### 参考文献

- 高橋鉄一、松崎伸一：粗粒材料の繰返し変形特性に関する基礎研究、平成 9 年度第 3 回四国支部技術研究発表会講演概要集、pp230～pp231、1997.